

We have a good chance to
make the centennial

Rainer Weiss, MIT on behalf of the
VIRGO/LIGO Scientific Collaboration

GW2010

University of Minnesota

Twin Cities

Oct 15, 2010

What centennial?

“*Subtle is the Lord*” A scientific biography of Einstein
Abraham Pais

“Raffiniert ist der Herrgott aber böshaft ist Er nicht”

“*Einstein*”

Walter Isaacson

Personal recollection

Henry Stroke

697
SITZUNGSBERICHTE 1916.
DER XXXIII.
KÖNIGLICH PREUSSISCHEN
AKADEMIE DER WISSENSCHAFTEN.

688 Sitzung der physikalisch-mathematischen Klasse vom 22. Juni 1916

AS.A. 311 SCIENCE LIBRARY MIT

Näherungsweise Integration der Feldgleichungen
der Gravitation.

VON A. EINSTEIN.

$$\gamma'_{\mu\nu} = \alpha_{\mu\nu} f(x_1 + ix_4) = \alpha_{\mu\nu} f(x-t). \quad (15)$$

Dabei sind die $\alpha_{\mu\nu}$ Konstante; f ist eine Funktion des Arguments $x-t$. Ist der betrachtete Raum frei von Materie, d. h. verschwinden die $T_{\mu\nu}$, so sind die Gleichungen (6) durch diesen Ansatz erfüllt. Die Gleichungen (4) liefern zwischen den $\alpha_{\mu\nu}$ die Beziehungen

$$\left. \begin{aligned} \alpha_{11} + i\alpha_{14} &= 0 \\ \alpha_{12} + i\alpha_{24} &= 0 \\ \alpha_{13} + i\alpha_{34} &= 0 \\ \alpha_{14} + i\alpha_{44} &= 0 \end{aligned} \right\}. \quad (16)$$

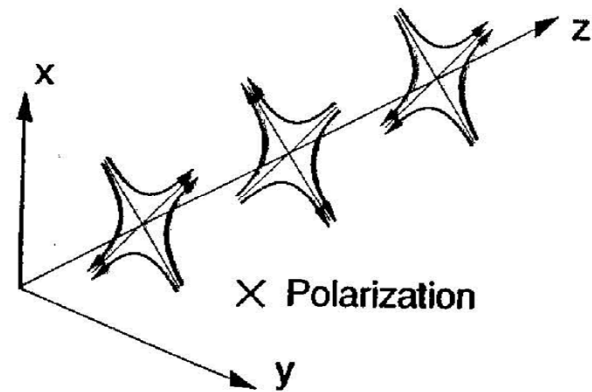
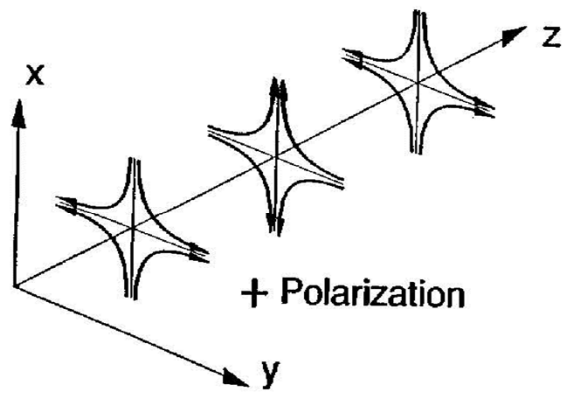
Von den 10 Konstanten $\alpha_{\mu\nu}$ sind daher nur 6 frei wählbar. Wir können die allgemeinste Welle der betrachteten Art daher aus Wellen von folgenden 6 Typen superponieren

$$\left. \begin{array}{lll} \text{a) } \alpha_{11} + i\alpha_{14} = 0 & \text{b) } \alpha_{12} + i\alpha_{24} = 0 & \text{d) } \alpha_{22} \neq 0 \\ \alpha_{14} + i\alpha_{44} = 0 & \text{c) } \alpha_{13} + i\alpha_{34} = 0 & \text{e) } \alpha_{23} \neq 0 \\ & & \text{f) } \alpha_{33} \neq 0 \end{array} \right\}. \quad (17)$$

$$\begin{aligned} \text{d) } \frac{1}{i} t_{22} &= \frac{f'^2}{4x} \alpha_{22}^2 = \frac{1}{4x} \left(\frac{\partial \gamma'_{22}}{\partial t} \right)^2 \\ \text{e) } \frac{1}{i} t_{23} &= \frac{f'^2}{4x} \alpha_{23}^2 = \frac{1}{4x} \left(\frac{\partial \gamma'_{23}}{\partial t} \right)^2 \\ \text{f) } \frac{1}{i} t_{33} &= \frac{f'^2}{4x} \alpha_{33}^2 = \frac{1}{4x} \left(\frac{\partial \gamma'_{33}}{\partial t} \right)^2 \end{aligned}$$

Es ergibt sich also, daß nur die Wellen des letzten Typs Energie transportieren, und zwar ist der Energietransport einer beliebigen ebenen Welle gegeben durch

$$I_x = \frac{1}{i} t_{41} = \frac{1}{4x} \left[\left(\frac{\partial \gamma'_{22}}{\partial t} \right)^2 + 2 \left(\frac{\partial \gamma'_{23}}{\partial t} \right)^2 + \left(\frac{\partial \gamma'_{33}}{\partial t} \right)^2 \right]. \quad (18)$$



Die in (23), (23a) und (23b) auftretenden Integrale, welche nichts anderes sind als zeitlich variable Trägheitsmomente, nennen wir im folgenden zur Abkürzung J_{22} , J_{33} , J_{23} . Dann ergibt sich für die Intensität \dot{I}_x der Energiestrahlung aus (18)

$$\dot{I}_x = \frac{\kappa}{64\pi^2 R^2} \left[\left(\frac{\partial^3 J_{22}}{\partial t^3} \right)^2 + 2 \left(\frac{\partial^3 J_{23}}{\partial t^3} \right)^2 + \left(\frac{\partial^3 J_{33}}{\partial t^3} \right)^2 \right]. \quad (20)$$

SPHERICALLY SYMMETRIC MOTION RADIATES GRAVITATIONAL WAVES

1918

VI VII VIII

SITZUNGSBERICHTE
DER
KÖNIGLICH PREUSSISCHEN
AKADEMIE DER WISSENSCHAFTEN

Sitzung der physikalisch-mathematischen Klasse am 7. Februar. (S. 139)

Sitzung der philosophisch-historischen Klasse am 7. Februar. (S. 141)

J. KIRCHNER: Archon Euthios. (S. 142)

Gesamtsitzung am 14. Februar. (S. 153)

EINSTEIN: Über Gravitationswellen. (Mitteilung vom 31. Januar.) (S. 154)

E. FREUNDLICH: Über die singulären Stellen der Lösungen des n -Körper-Problems. 1. Mitteilung.
(Mitteilung vom 31. Januar.) (S. 168)

BERLIN 1918

VERLAG DER KÖNIGLICHEN AKADEMIE DER WISSENSCHAFTEN

IN KOMMISSION BEI GEORG REIMER

Über Gravitationswellen.

VON A. EINSTEIN.

(Vorgelegt am 31. Januar 1918 [s. oben S. 79].)

Die wichtige Frage, wie die Ausbreitung der Gravitationsfelder erfolgt, ist schon vor anderthalb Jahren in einer Akademiearbeit von mir behandelt worden¹. Da aber meine damalige Darstellung des Gegenstandes nicht genügend durchsichtig und außerdem durch einen bedauerlichen Rechenfehler verunstaltet ist, muß ich hier nochmals auf die Angelegenheit zurückkommen.

Wie damals beschränke ich mich auch hier auf den Fall, daß das betrachtete zeiträumliche Kontinuum sich von einem »galileischen« nur sehr wenig unterscheidet. Um für alle Indizes

$$g_{\mu\nu} = -\delta_{\mu\nu} + \gamma_{\mu\nu} \quad (1)$$

Sind die Bedingungen (15) erfüllt, so stellt (14) eine mögliche Gravitationswelle dar. Um deren physikalische Natur genauer zu durchschauen, berechnen wir deren Dichte des Energiestromes $\frac{t_{41}}{i}$. Durch Einsetzen der in (15) gegebenen $\gamma_{\mu\nu}^i$ in Gleichung (9) erhält man

$$\frac{t_{41}}{i} = \frac{1}{4\kappa} f^{\nu 2} \left[\left(\frac{\alpha_{22} - \alpha_{33}}{2} \right)^2 + \alpha_{23}^2 \right], \quad (16)$$

$$\mathfrak{J}_{uv} = \int x_u x_v \rho dV_o \quad (23)$$

gesetzt; \mathfrak{J}_{uv} sind die Komponenten des (zeitlich variablen) Trägheitsmomentes des materiellen Systems.

Auf analogem Wege erhält man

$$\int (T_{22} - T_{33}) dV_o = \frac{1}{2} (\ddot{\mathfrak{J}}_{22} - \ddot{\mathfrak{J}}_{33}). \quad (24)$$

Aus (7a) ergibt sich auf Grund von (22) und (24)

$$\gamma'_{23} = -\frac{\kappa}{4\pi R} \ddot{\mathfrak{J}}_{23}. \quad (25)$$

$$\frac{\gamma'_{22} - \gamma'_{33}}{2} = -\frac{\kappa}{4\pi R} \left(\frac{\ddot{\mathfrak{J}}_{22} - \ddot{\mathfrak{J}}_{33}}{2} \right). \quad (26)$$

Die \mathfrak{J}_{uv} sind nach (7a), (22), (24) für die Zeit $t - R$ zu nehmen, also Funktionen von $t - R$, oder bei großem R in der Nähe der x -Achse auch Funktionen von $t - x$. (25), (26) stellen also Gravitationswellen dar, deren Energiefluß längs der x -Achse gemäß (16) die Dichte

$$\frac{t_{41}}{i} = \frac{\kappa}{64\pi^2 R^2} \left[\left(\frac{\ddot{\mathfrak{J}}_{22} - \ddot{\mathfrak{J}}_{33}}{2} \right)^2 + \ddot{\mathfrak{J}}_{23}^2 \right] \quad (27)$$

THE QUADRUPOLE FORMULA A FACTOR OF 2 TOO SMALL

~100 years since 1916

- B modes in the Cosmic Background
 - periods of 10^{10} years
- Timing with millisecond pulsars
 - periods of ~ year
- LISA
 - periods of hours to minutes
- Ground based interferometers
 - periods of 100 to 0.1 milliseconds



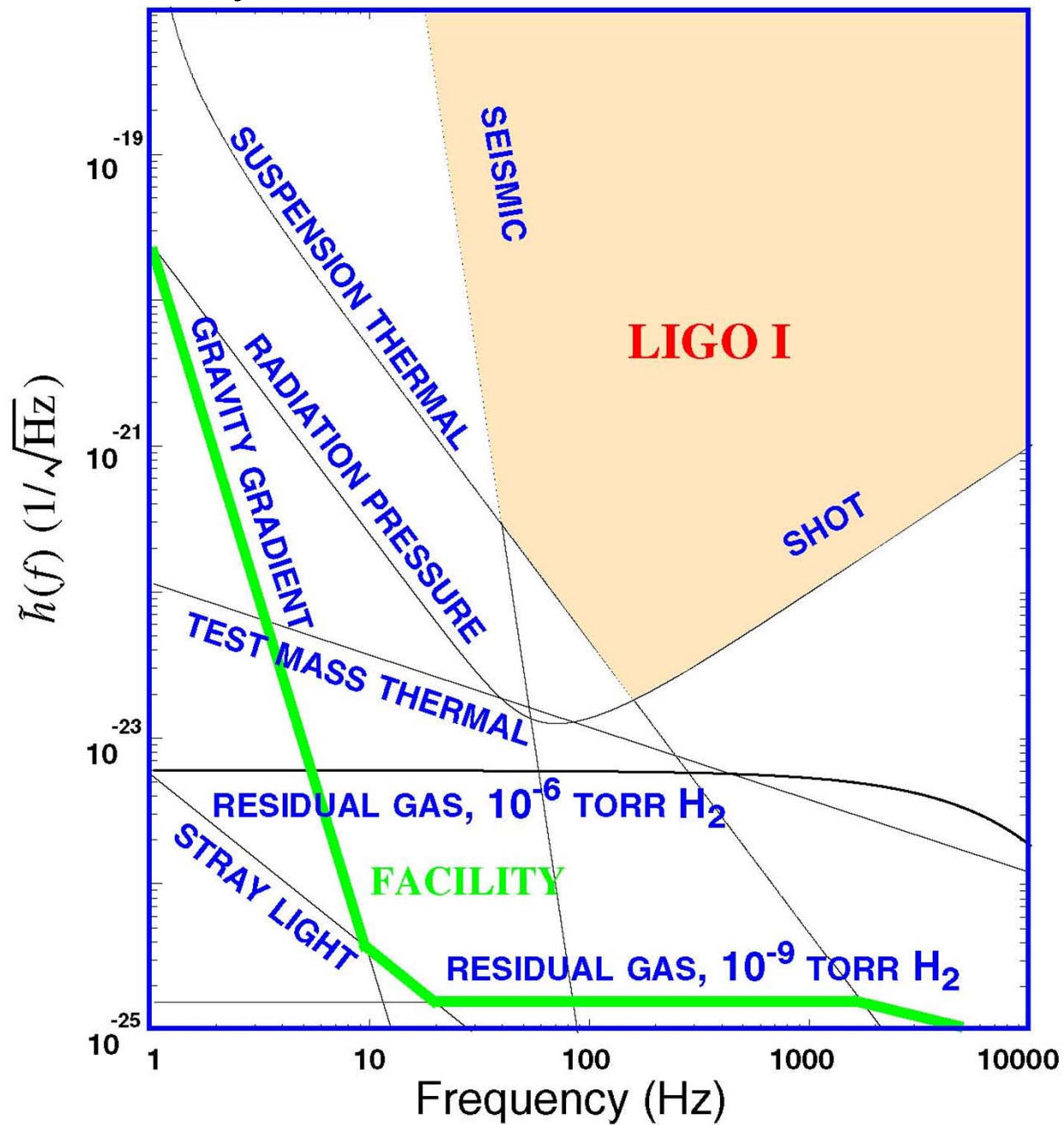
LIGO Scientific Collaboration



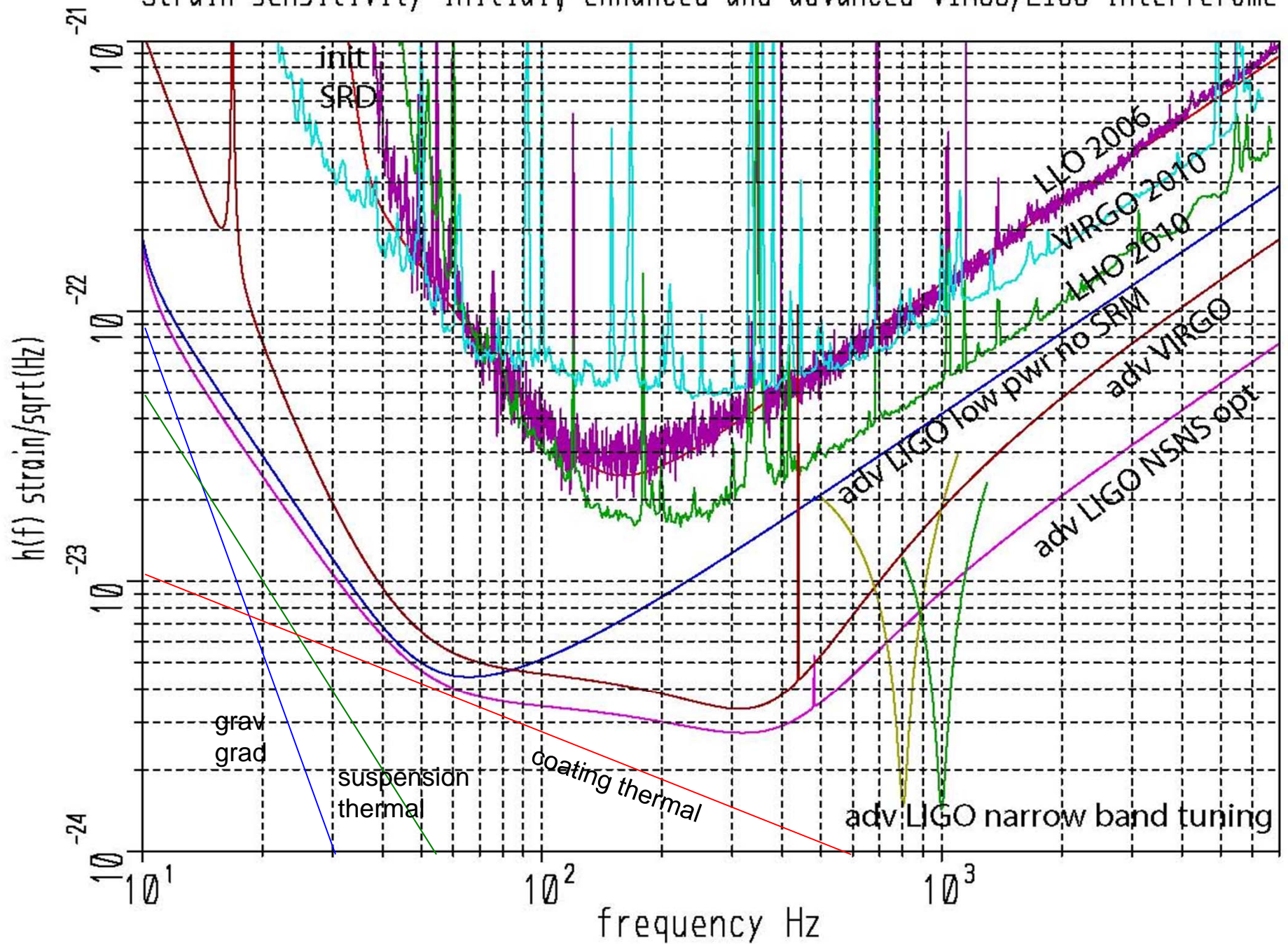
- Australian Consortium for Interferometric Gravitational Astronomy
- The Univ. of Adelaide
- Andrews University
- The Australian National Univ.
- The University of Birmingham
- California Inst. of Technology
- Cardiff University
- Carleton College
- Charles Sturt Univ.
- Columbia University
- Embry Riddle Aeronautical Univ.
- Eötvös Loránd University
- University of Florida
- German/British Collaboration for the Detection of Gravitational Waves
- University of Glasgow
- Goddard Space Flight Center
- Leibniz Universität Hannover
- Hobart & William Smith Colleges
- Inst. of Applied Physics of the Russian Academy of Sciences
- Polish Academy of Sciences
- India Inter-University Centre for Astronomy and Astrophysics
- Louisiana State University
- Louisiana Tech University
- Loyola University New Orleans
- University of Maryland
- Max Planck Institute for Gravitational Physics



Mostly idealized and fundamental noise



Strain sensitivity initial, enhanced and advanced VIRGO/LIGO interferome



Program of detector improvements

- **Major steps between initial and advanced LIGO**
 - Increase laser input power 10 to 180 watts in stages
 - Incorporation of an output mode cleaner
 - Output optics and electro-optics chain in vacuum
 - DC (carrier offset) “modulation” technique
 - **Reduction in thermal noise**
 - Steel wire to fused silica fiber suspension elements
 - Lower mechanical dissipation optical coatings
 - Larger fused silica test masses : 10 kg to 40 kg
 - Improved active seismic isolation – extend sensitivity to 15Hz
 - Tunable dual recycling interferometer configuration
 - Quantum limited operation over significant band





Seismic Isolation

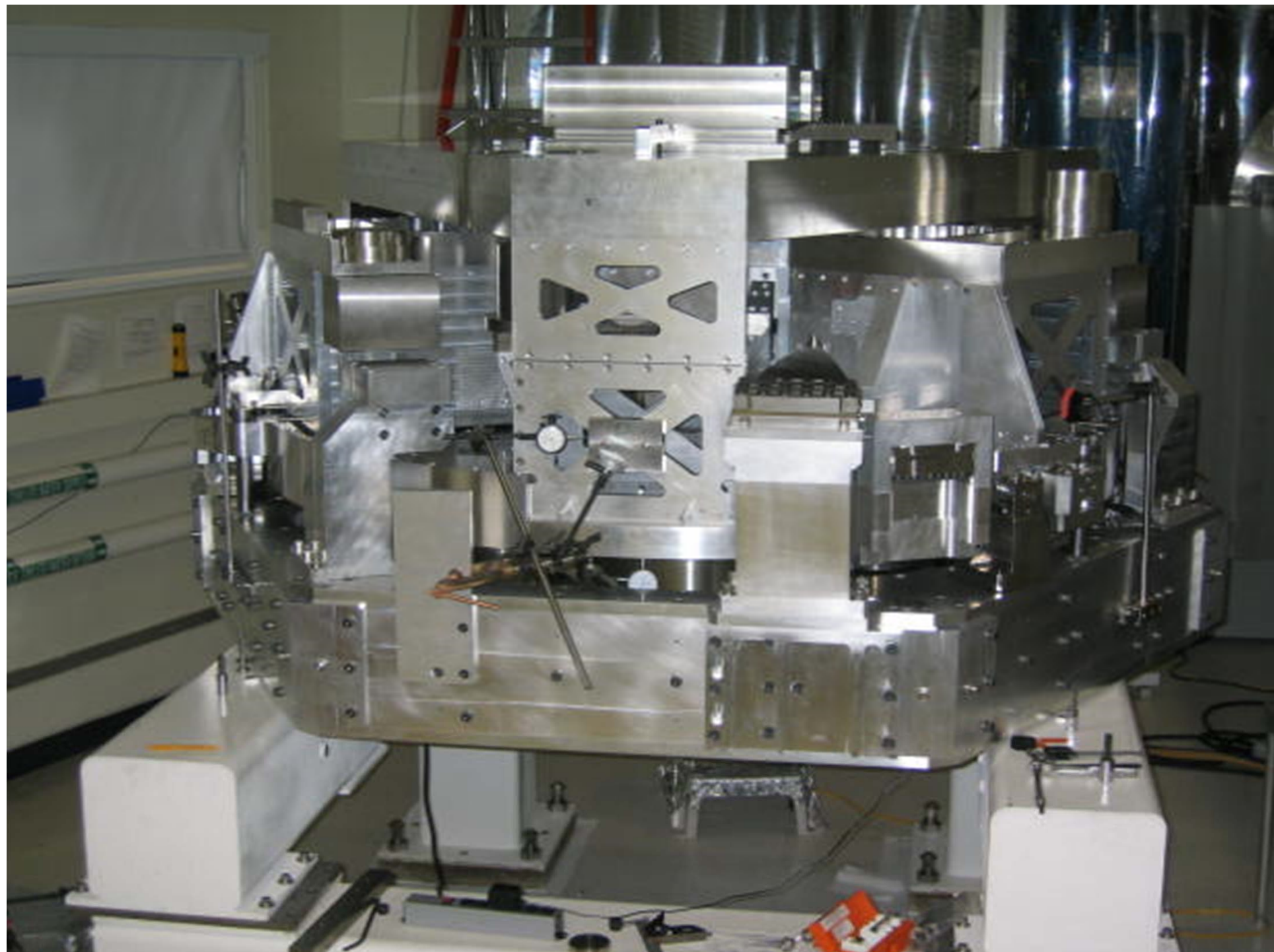
Springs and Masses



damped spring
cross section



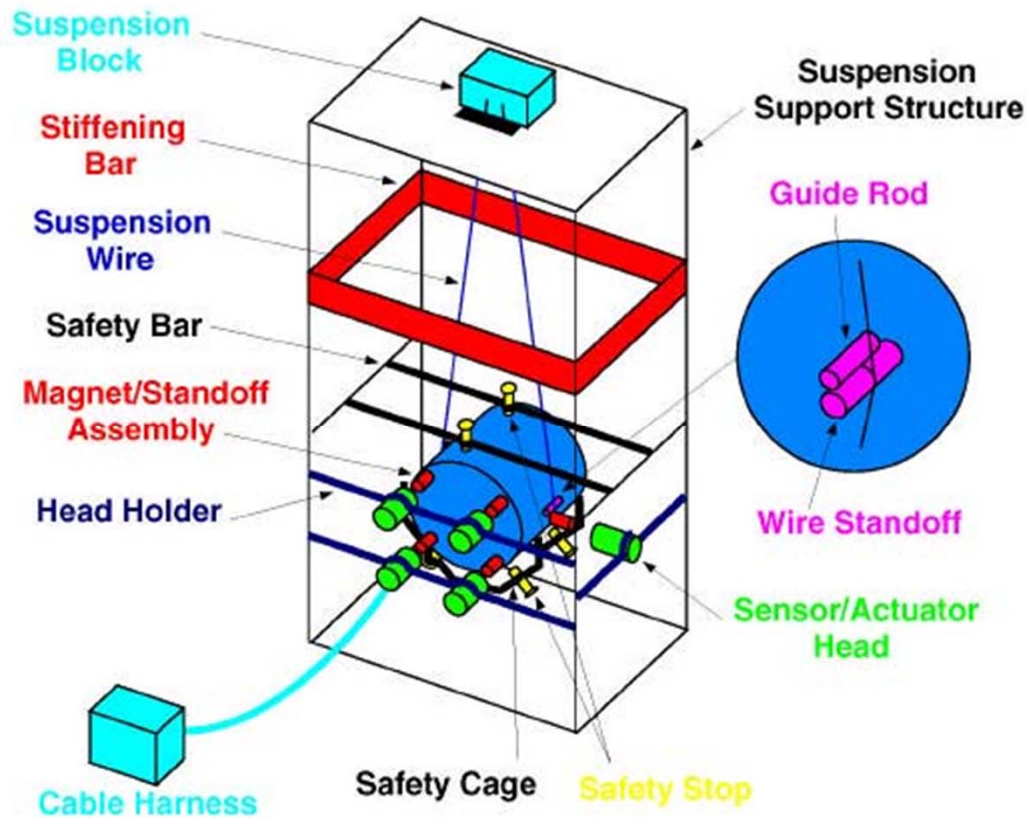




Seismic Isolation

suspension system

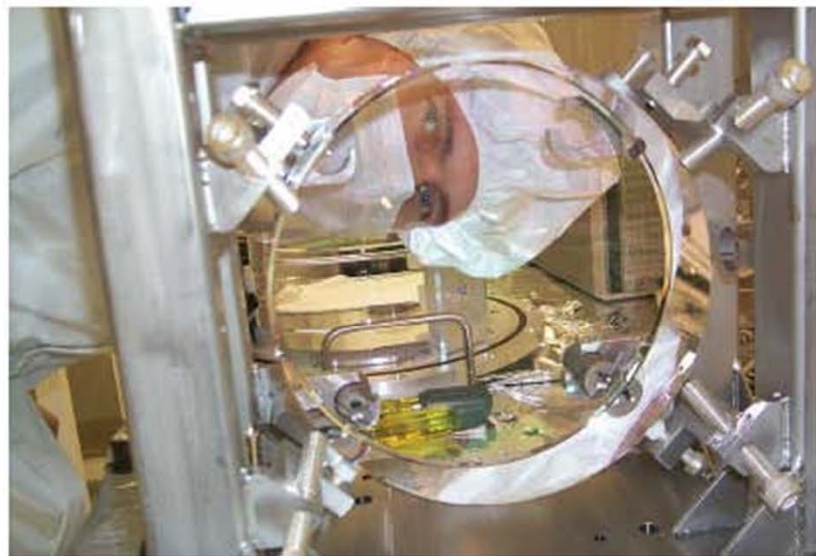
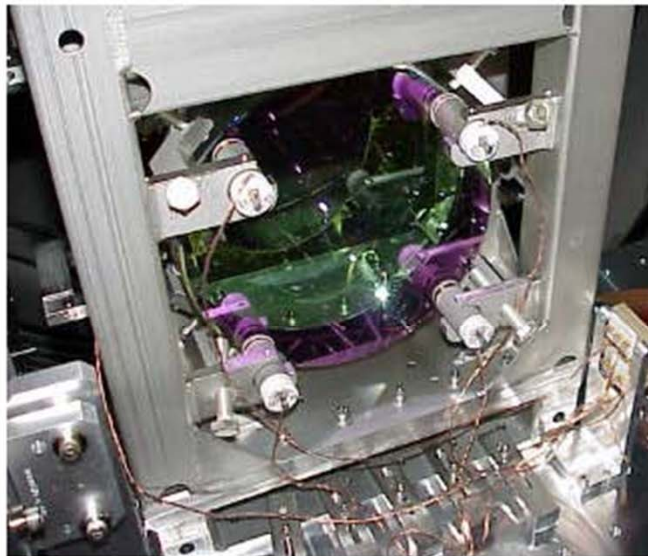
suspension assembly for a core optic



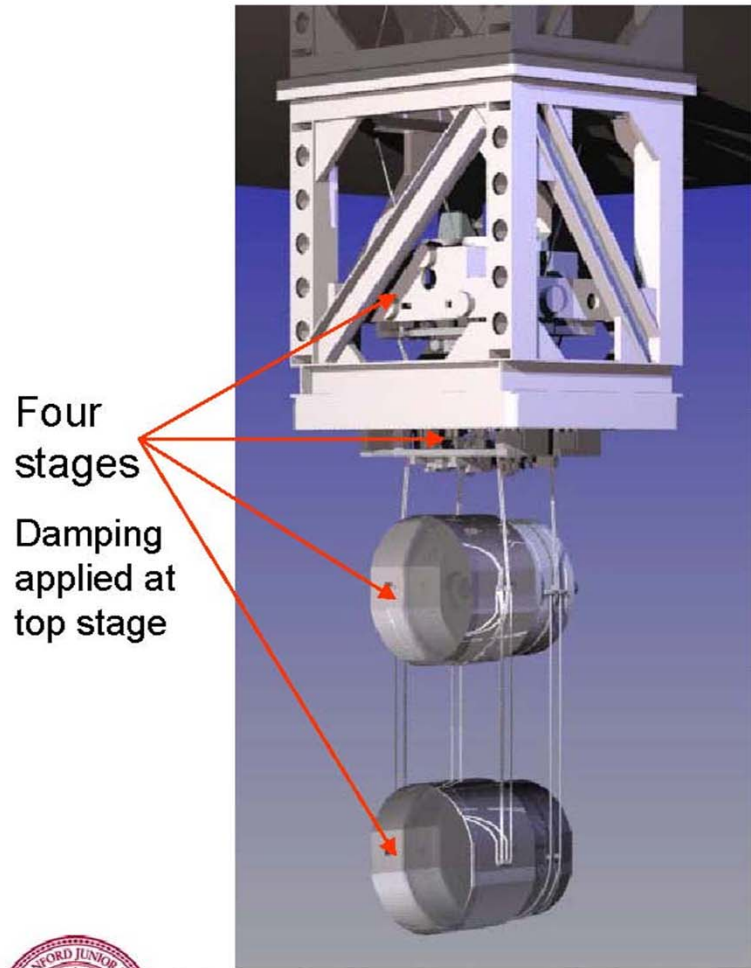


Core Optics

Suspension



Schematic



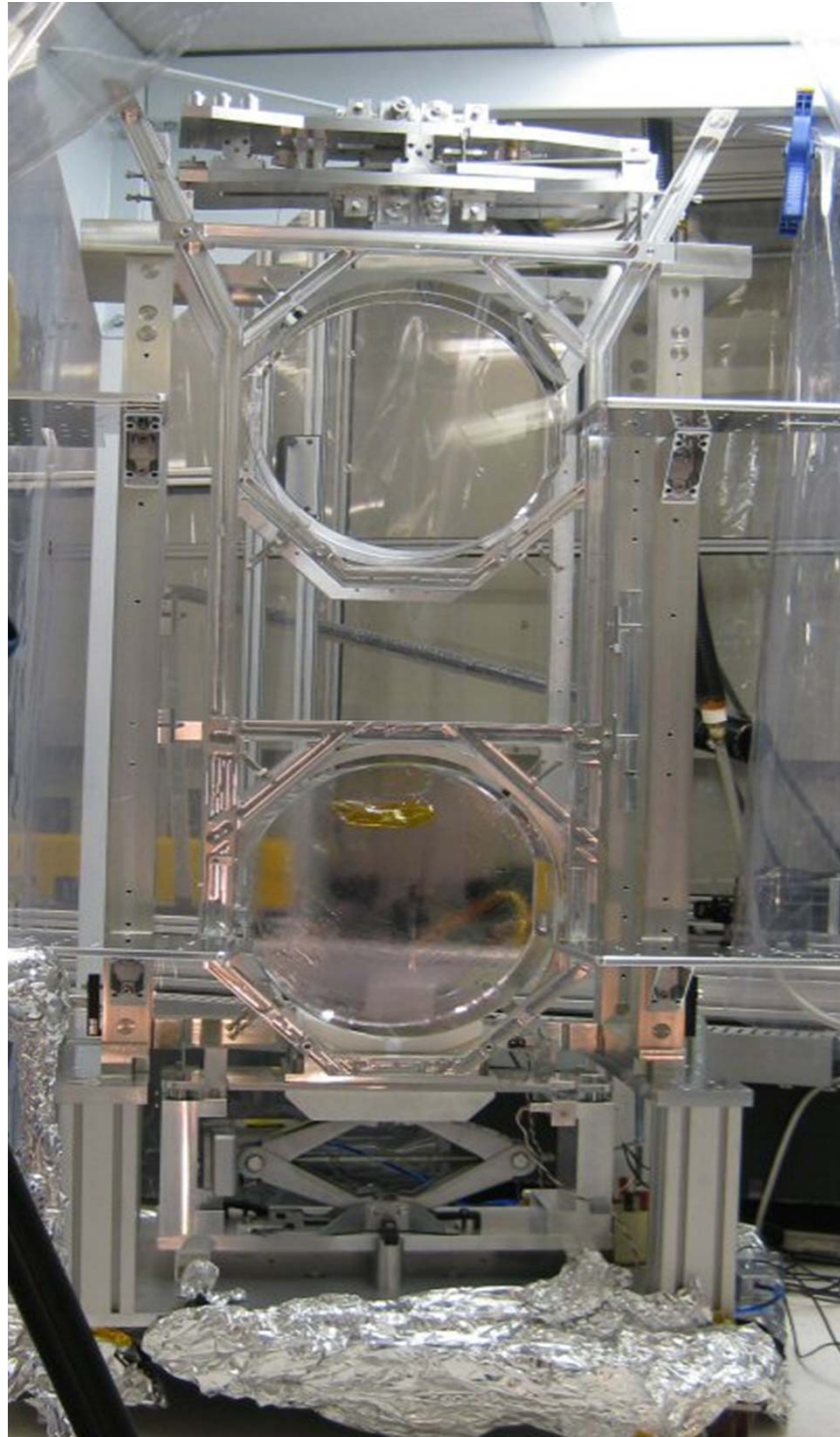
Four stages

Damping applied at top stage

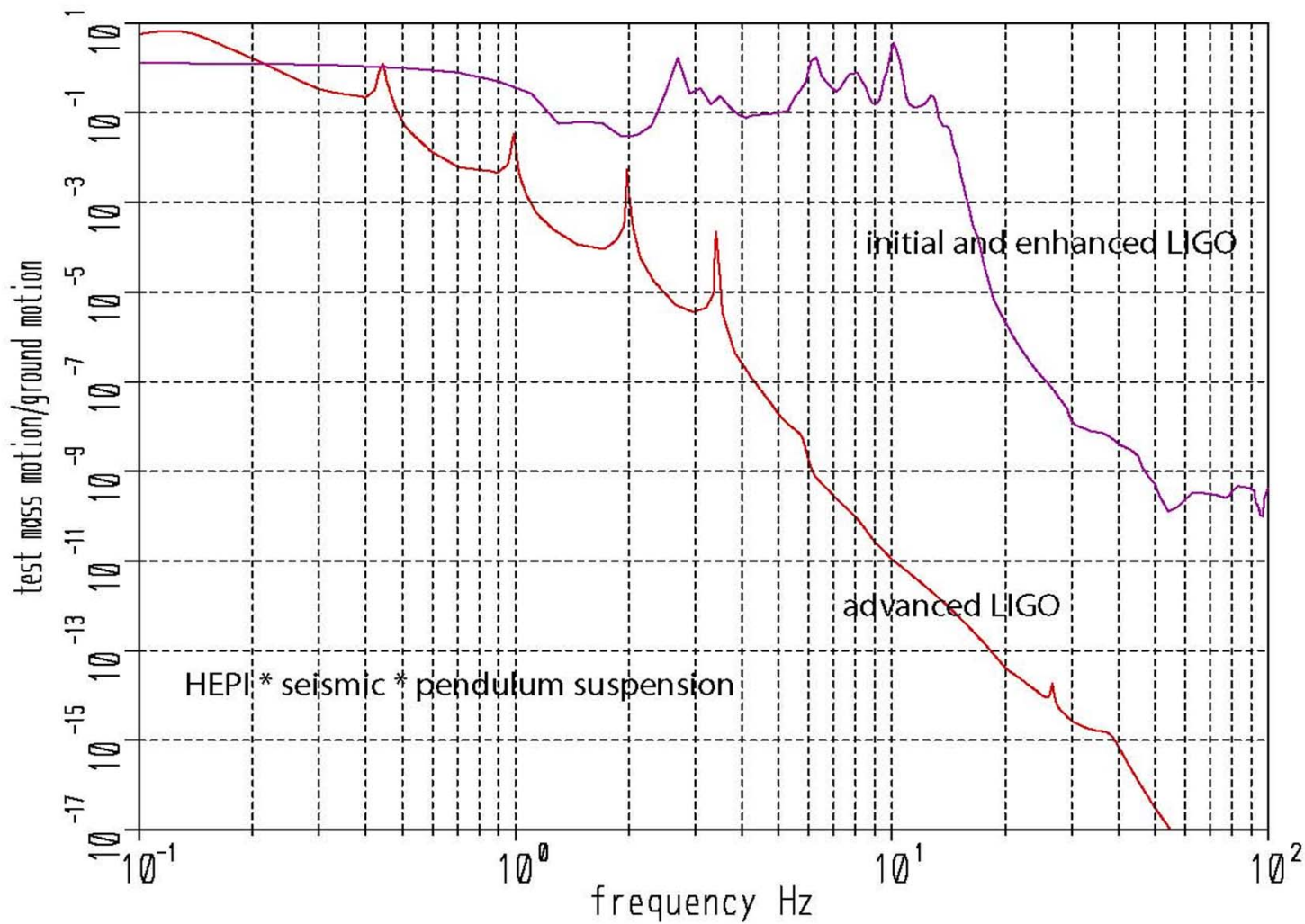


Main chain plus parallel reaction chain for control actuation

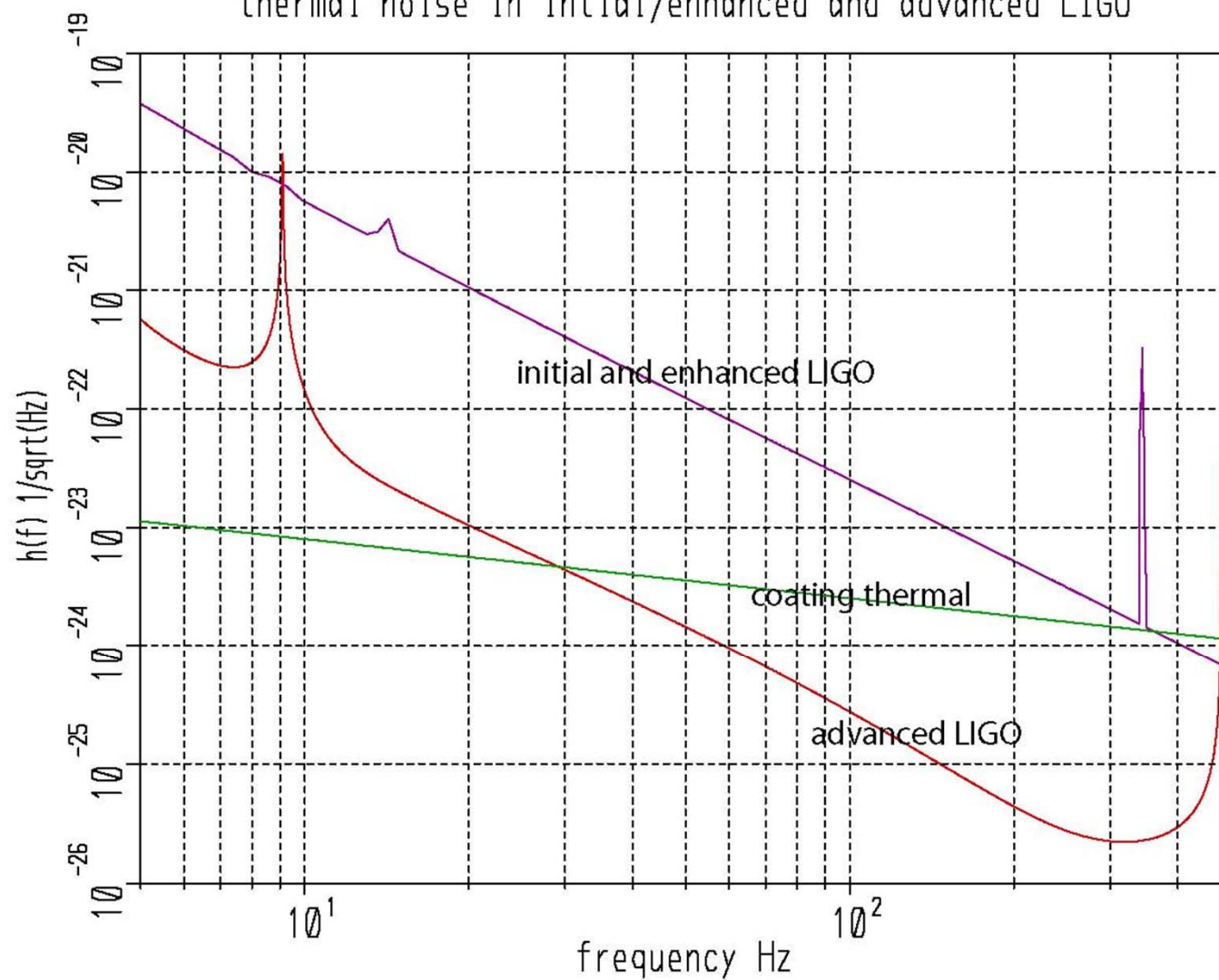
(Lower support structure removed for clarity)



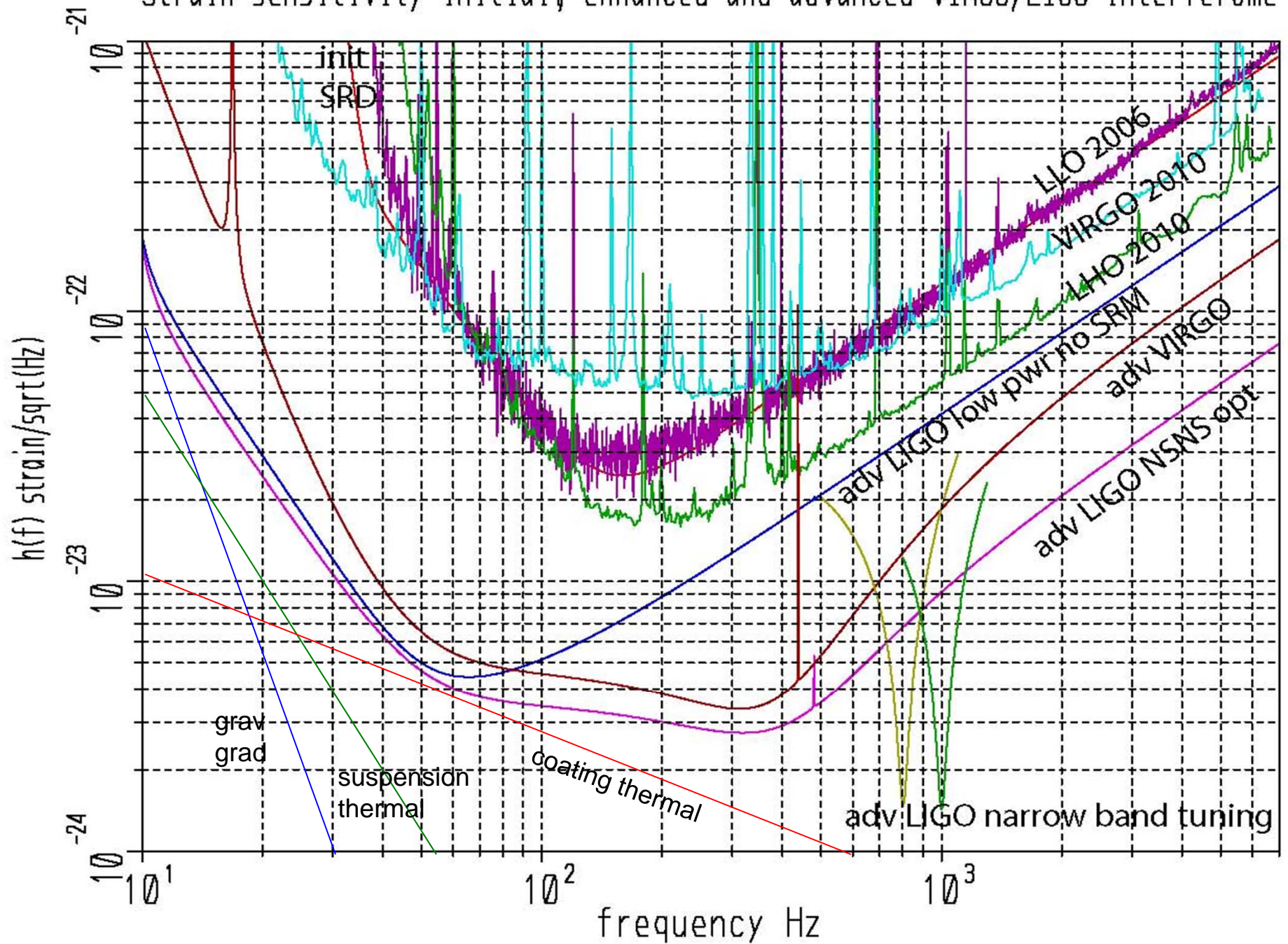
Seismic isolation initial and advanced LIGO



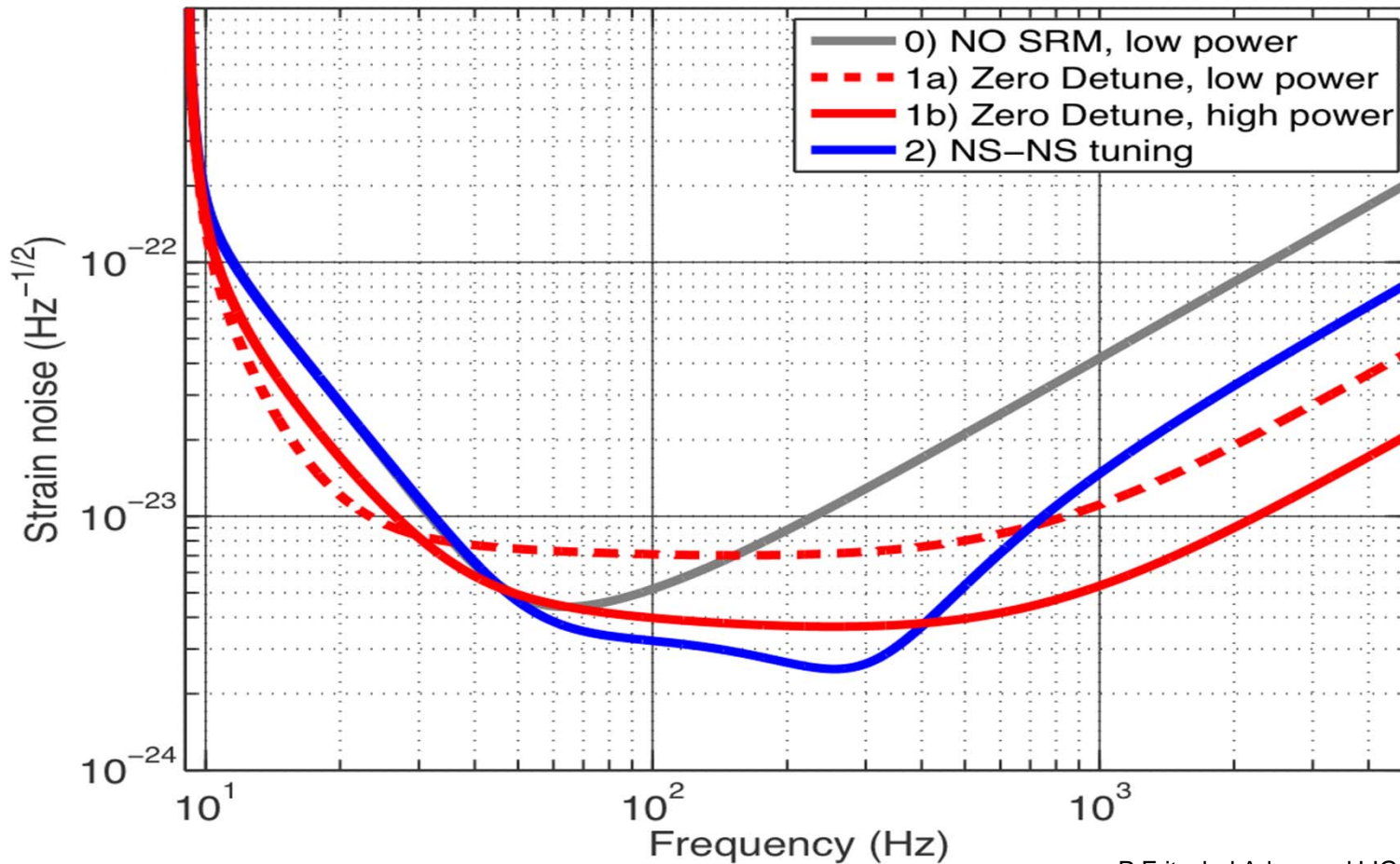
thermal noise in intial/enhanced and advanced LIGO



Strain sensitivity initial, enhanced and advanced VIRGO/LIGO interferome



Advanced LIGO broadband operational modes



P.Fritschel Advanced LIGO Systems Design (2009)

Mode	NS-NS Range	BH-BH Range	P_{in}	T_{SRM}	ϕ_{SRC}	$h_{RMS}, 10^{-22}$ (band)
0	150 Mpc	1.60 Gpc	25 W	100%	-	0.53 (40–140 Hz)
1a	145 Mpc	1.65 Gpc	25 W	20%	0 deg.	0.70 (110–210 Hz)
1b	190 Mpc	1.85 Gpc	125 W	20%	0 deg.	0.37 (205–305 Hz)
2	200 Mpc	1.65 Gpc	125 W	20%	16 deg.	0.25 (205–305 Hz)

R = horizon distance

Binary NS coalescences 1.4Mo / 1.4 Mo

Strain vs time

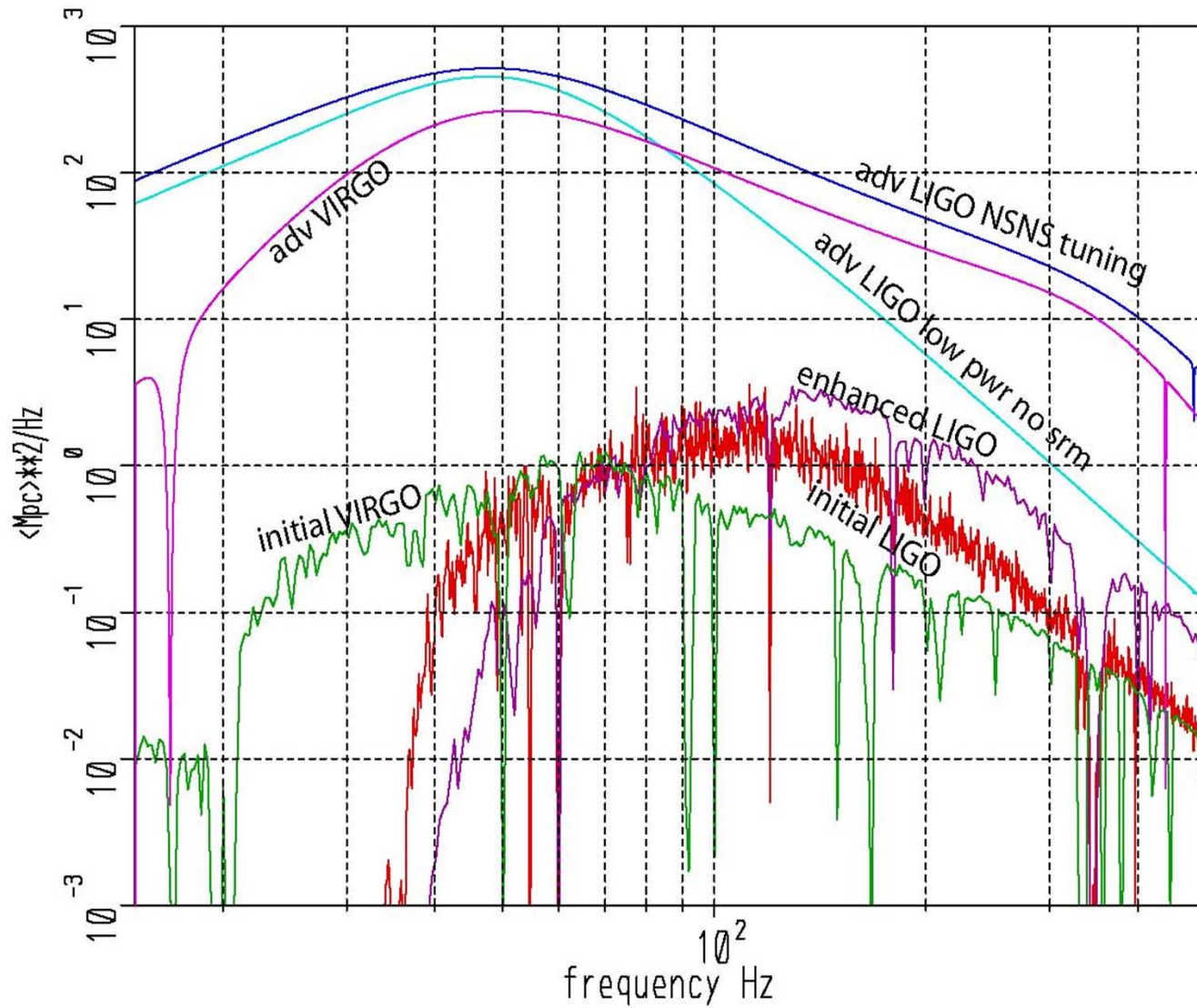
$$h(t) = \frac{2G}{Rc^4} \left(\frac{m_1 m_2}{m_1 + m_2} \right) (\pi G (m_1 + m_2) f(t))^{2/3} = 1.8 \times 10^{-23} f = 100 \text{ Hz} \quad R = 100 \text{ Mpc}$$

$$f(t) = \frac{1}{\pi} \left(\frac{5}{256\tau} \right)^{3/8} \left(\frac{c^3}{G M_{\text{chirp}}} \right)^{5/8} = \frac{134 \text{ Hz}}{\tau^{3/8}} \quad M_{\text{chirp}} = \frac{(m_1 m_2)^{3/5}}{(m_1 + m_2)^{1/5}} \quad \tau = (t_{\text{end}} - t)$$

Frequency spectrum

$$h(f) = \frac{1}{\pi^{2/3}} \sqrt{\frac{5}{24}} \left(\frac{c}{R} \right) \left(\frac{G M_{\text{chirp}}}{c^3} \right)^{5/6} \left(\frac{1}{f^{7/6}} \right) = \frac{9.1 \times 10^{-22}}{f^{7/6}} \text{ strain/Hz} \quad R = 100 \text{ Mpc}$$

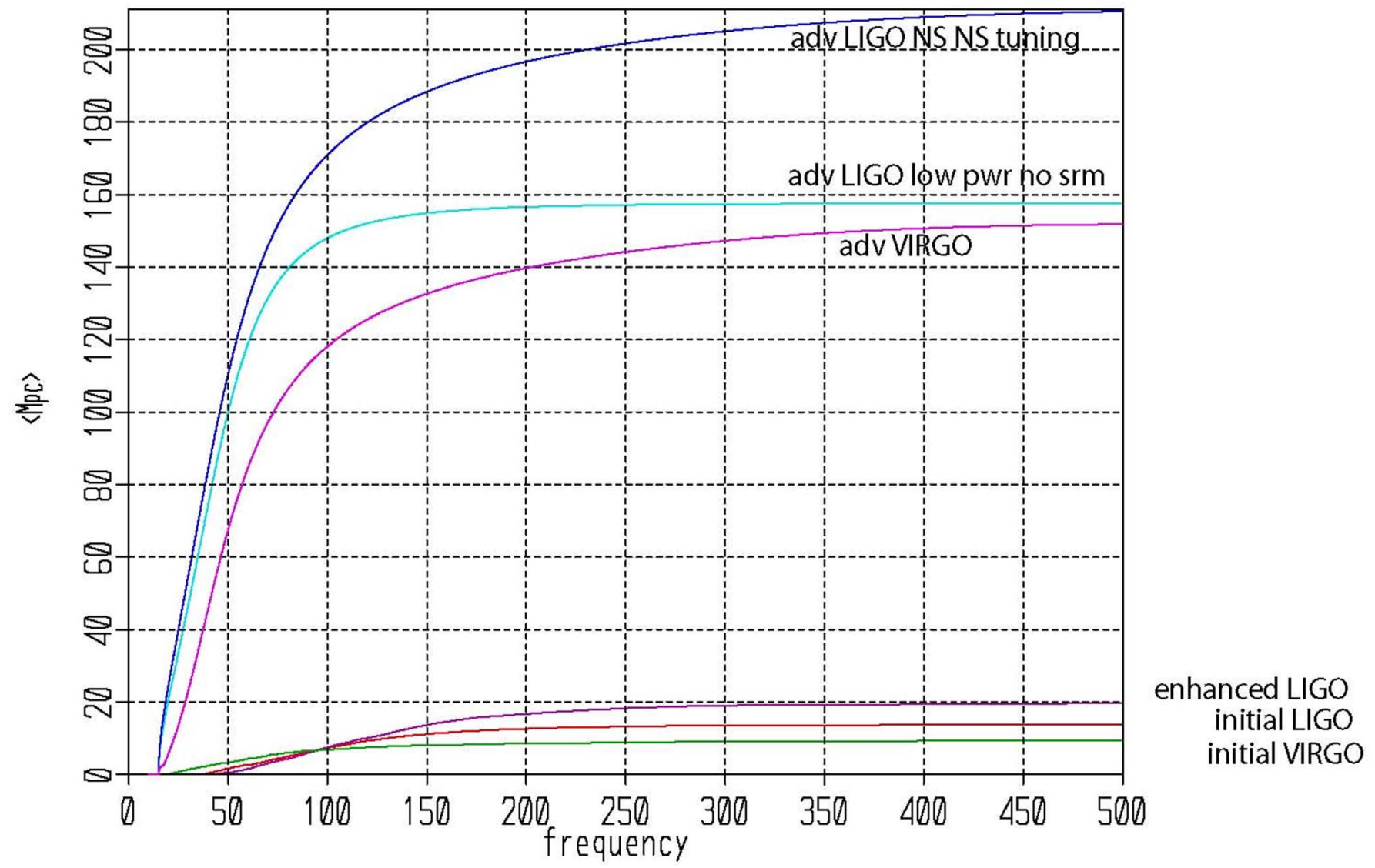
$\langle \text{Mpc} \rangle^2 / \text{Hz}$ for initial, enhanced and advanced interferometers



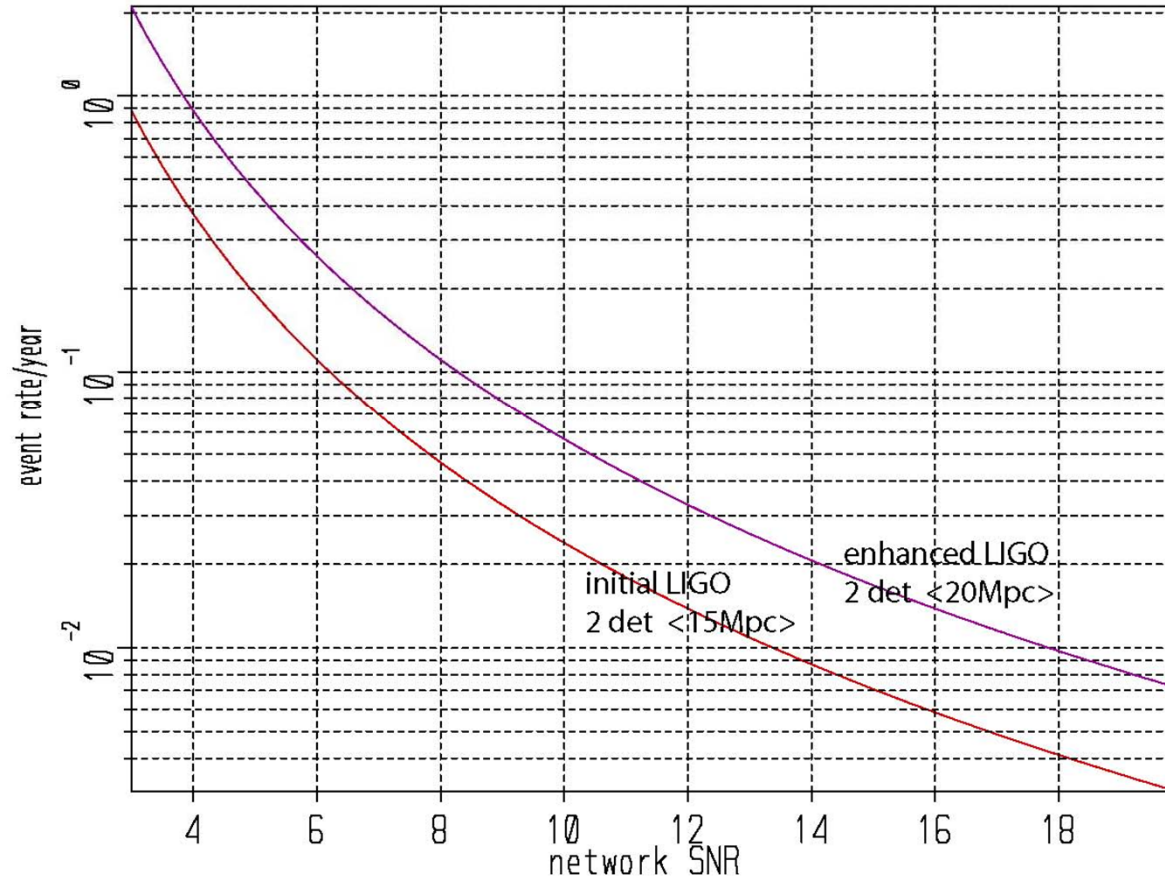
$$h_{\text{signal}}(f) = \sqrt{h_x^2(f) + h_+^2(f)}$$

$$\text{SNR}^2 = 2 \int_0^\infty \frac{h_{\text{signal}}^2(f)}{h_{\text{noise}}^2(f)} df$$

$\langle Mpc \rangle$ contributions as function of frequency



initial and enhanced LIGO NS/NS rate for 100/MWEG/Myr



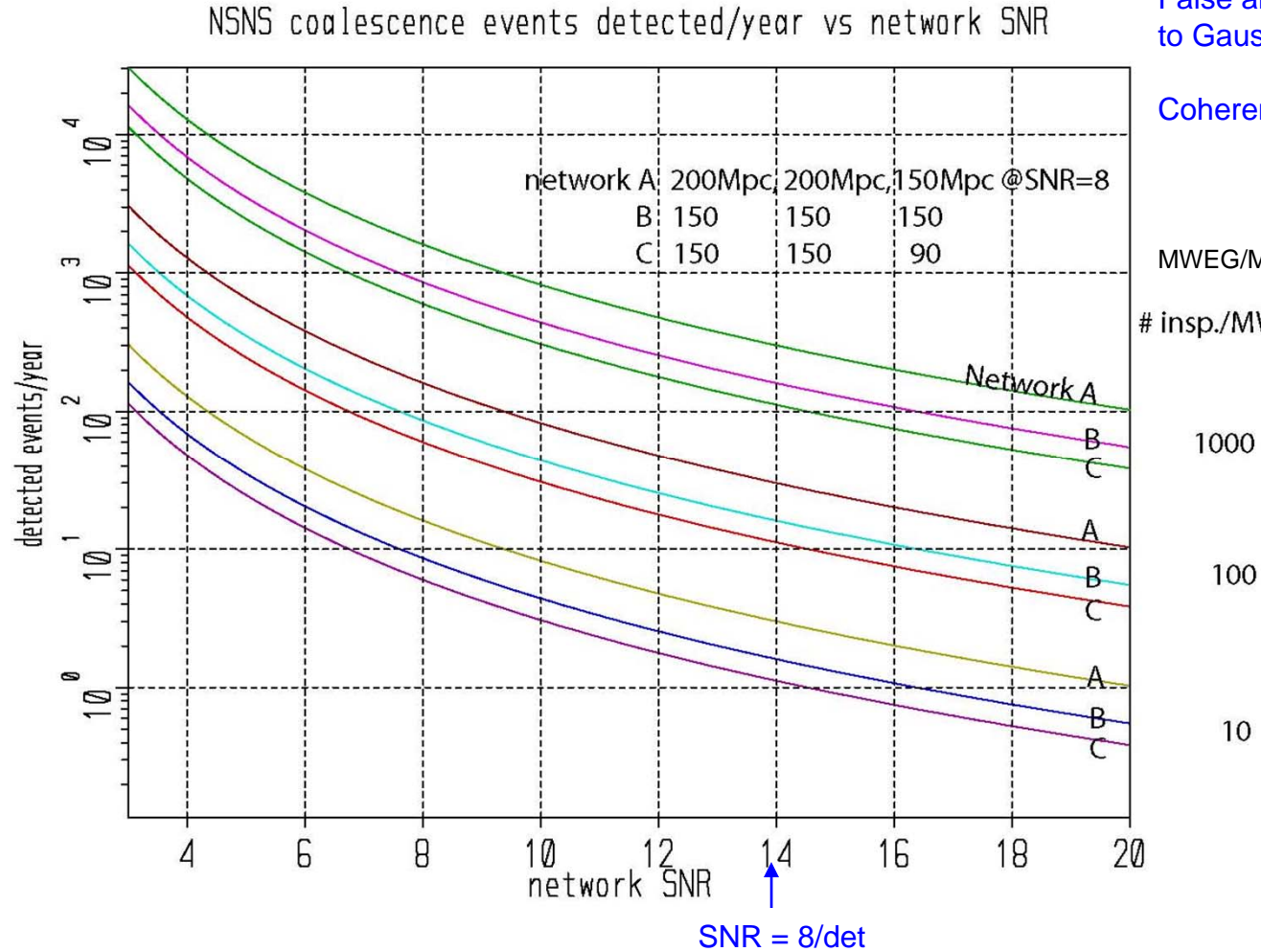
Conditions:

False alarm rates reduced to Gaussian statistics.

Coherent detection

MWEG/Mpc³ = 0.012

insp./MWEG/Myr

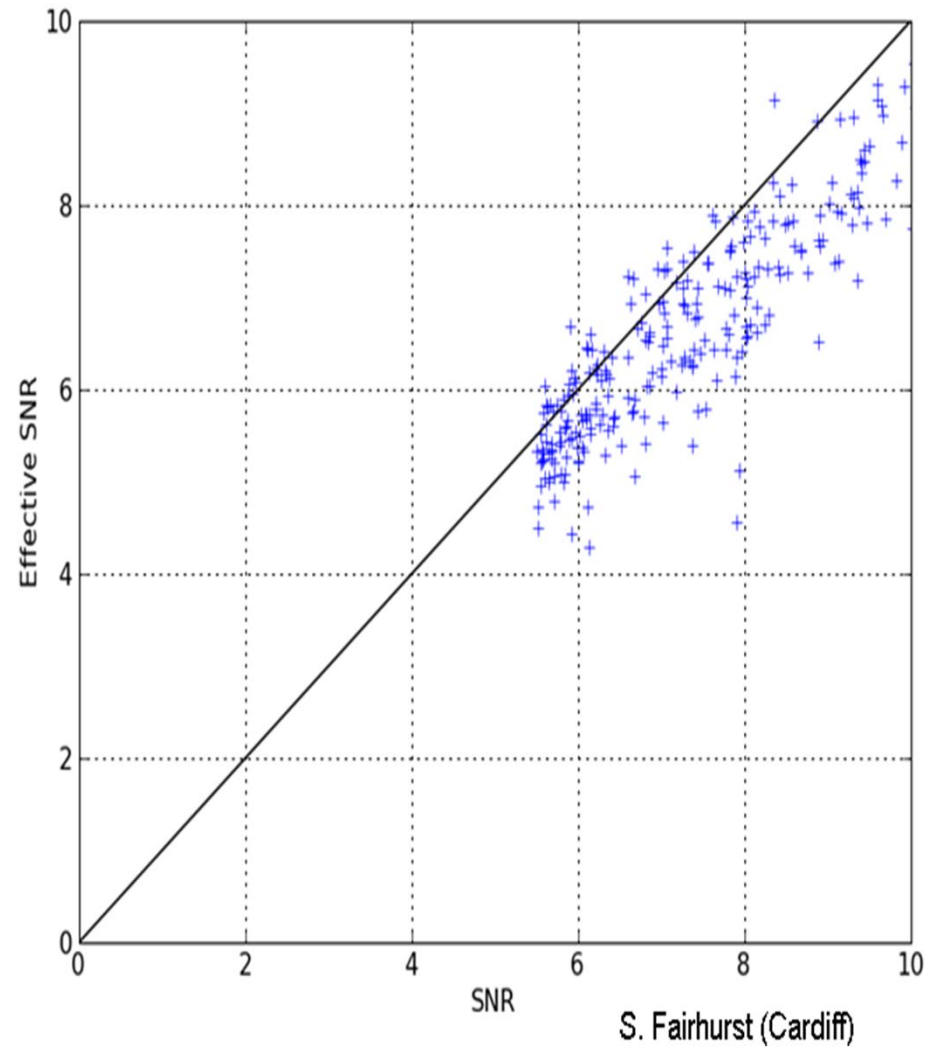
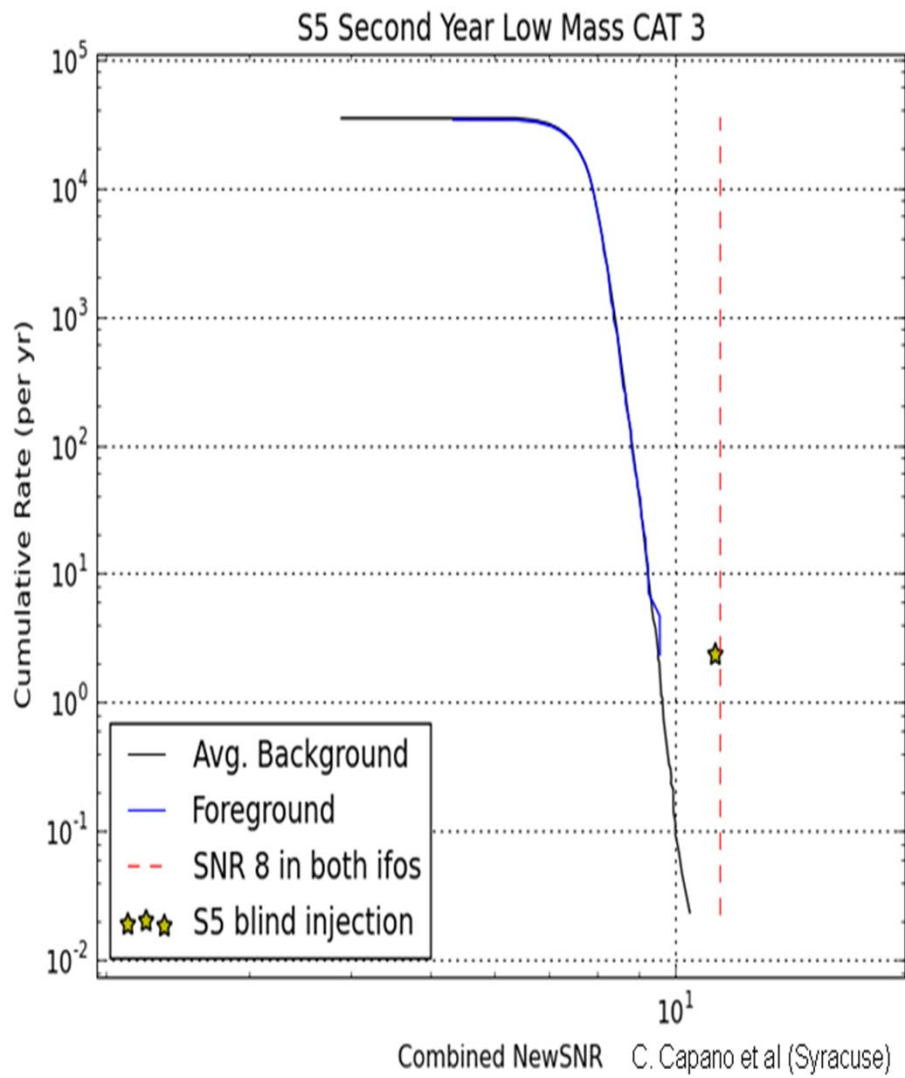


$$\text{NSNS events/year} = \frac{4\pi}{3} \left(\frac{8}{\text{SNR}_{\text{network}}} \sqrt{\sum_1^{\text{ndet}} \langle R(\text{Mpc}) \rangle_{\text{SNR}=8}^2} \right)^3 \left(\frac{\text{MWEG}}{\text{Mpc}^3} \right) \left(\frac{\#\text{NSNS insp}}{\text{MWEG/yr}} \right)$$

Spare slides follow

Physical Environment Monitoring

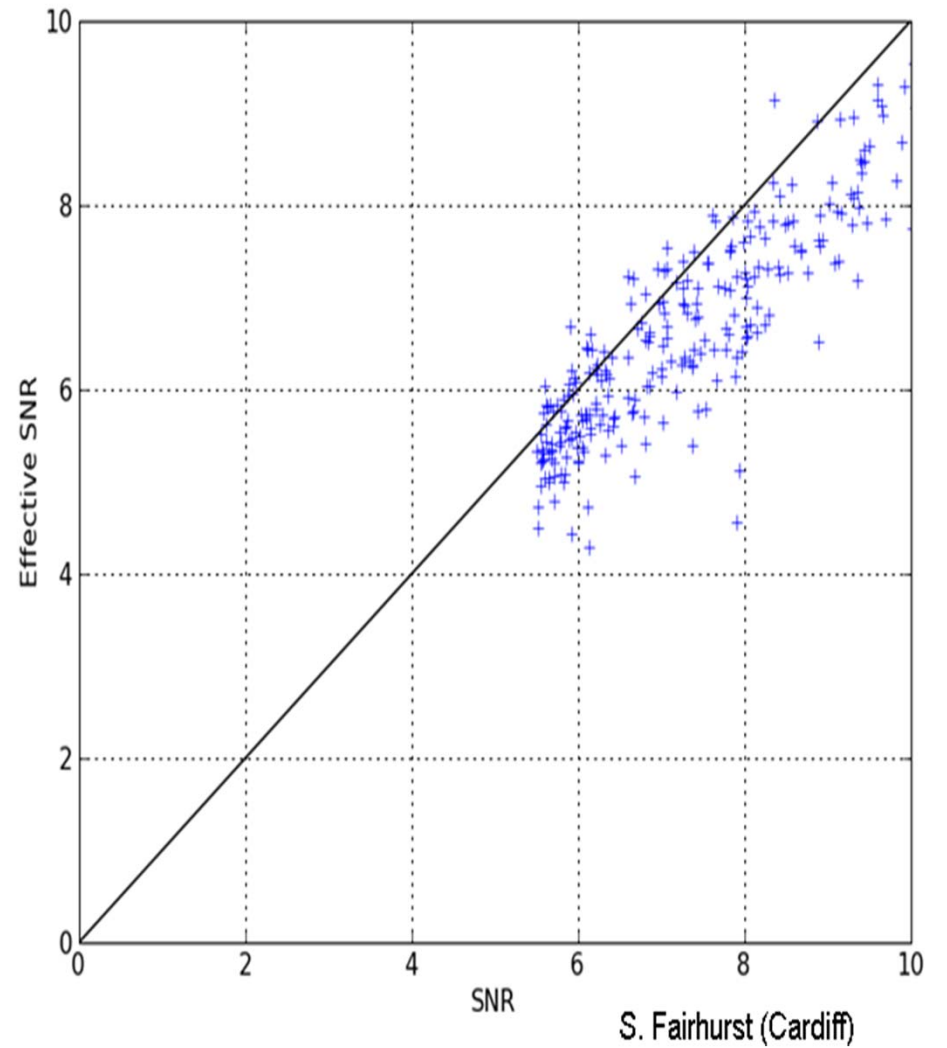
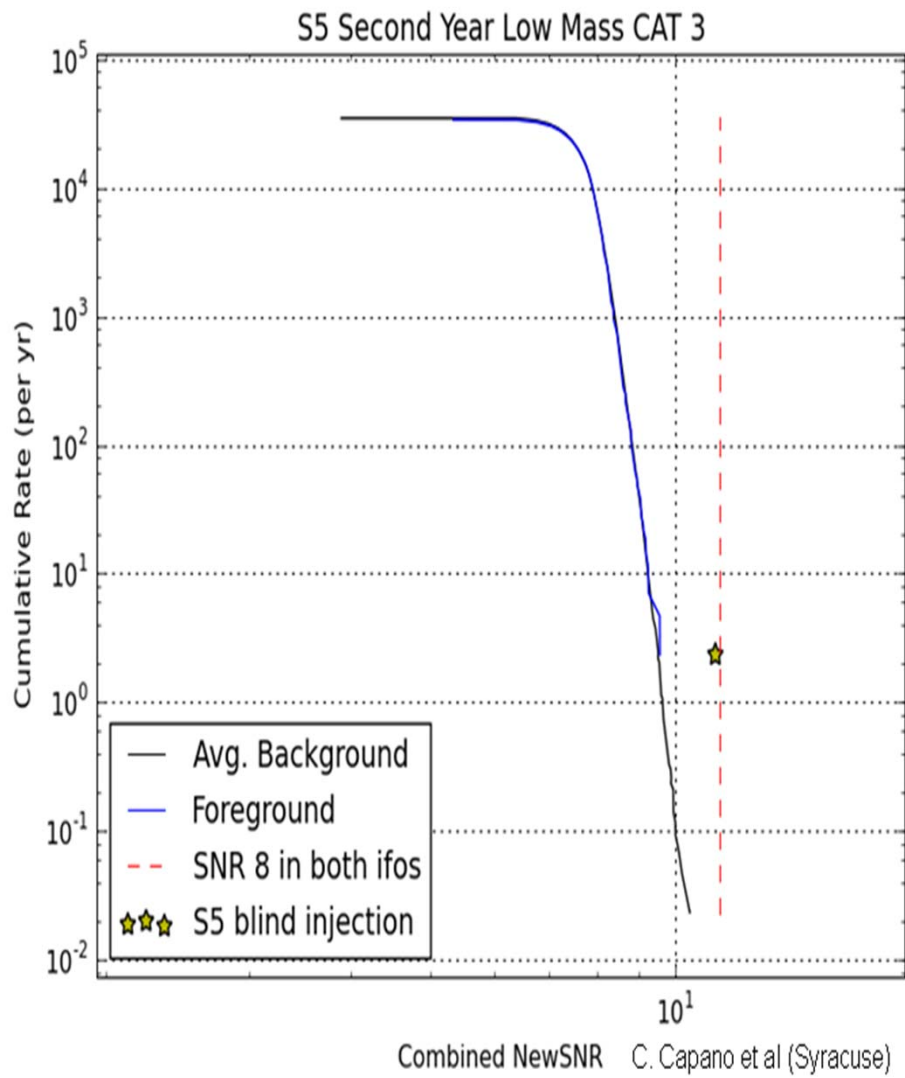
- **Seismic motion**
 - xyz seismometer/building
- **Motion of test mass chambers**
 - xyz accelerometers/chamber
- **Acoustic excitation**
 - microphone/building
- **Magnetic fields**
 - xyz magnetometer/building
 - xyz high sensitivity coil/site
- **Radio Frequency interference**
 - multiband 30kHz -100MHz receiver/site
- **Main AC power monitor**
 - 3 phase monitor/building
- **Muon shower detector**
 - scintillator-PM tube/site



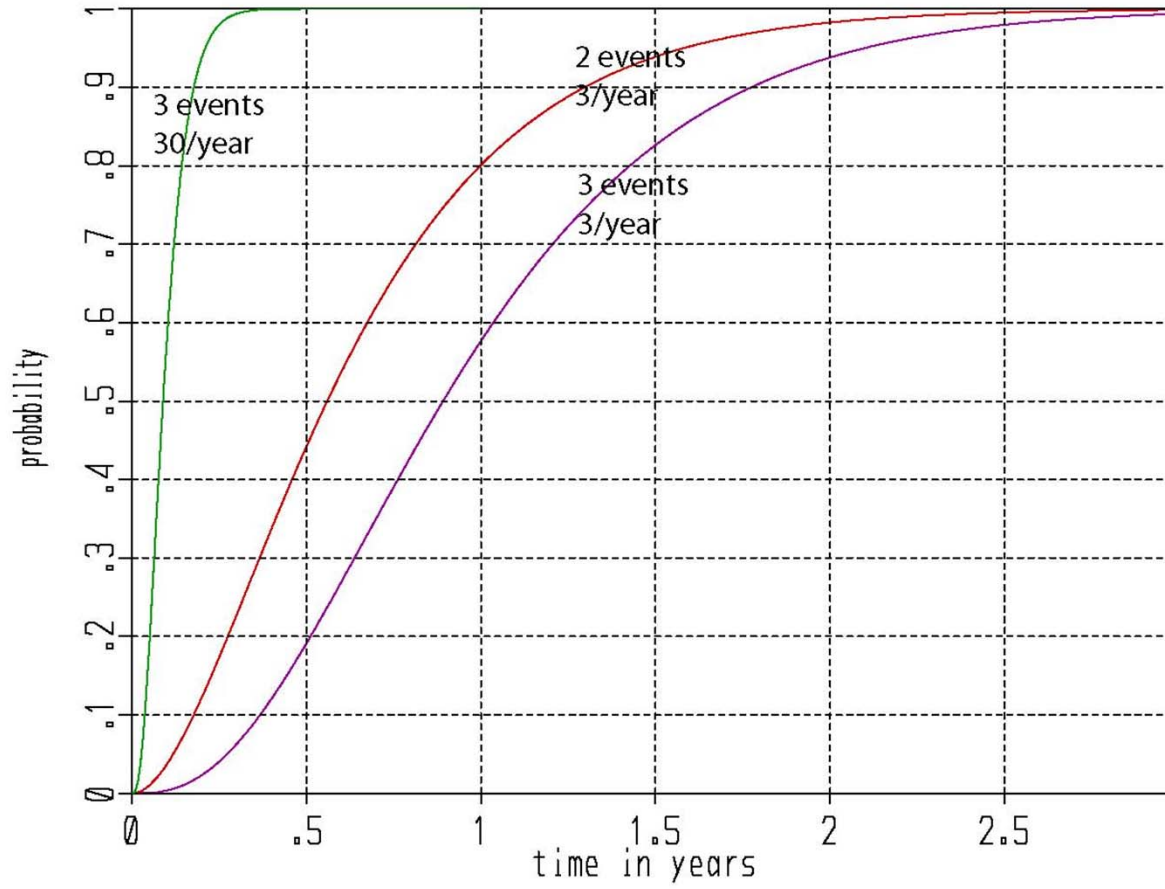
Spare slides follow

Physical Environment Monitoring

- **Seismic motion**
 - xyz seismometer/building
- **Motion of test mass chambers**
 - xyz accelerometers/chamber
- **Acoustic excitation**
 - microphone/building
- **Magnetic fields**
 - xyz magnetometer/building
 - xyz high sensitivity coil/site
- **Radio Frequency interference**
 - multiband 30kHz -100MHz receiver/site
- **Main AC power monitor**
 - 3 phase monitor/building
- **Muon shower detector**
 - scintillator-PM tube/site



probability of n events or more with rate lambda vs time

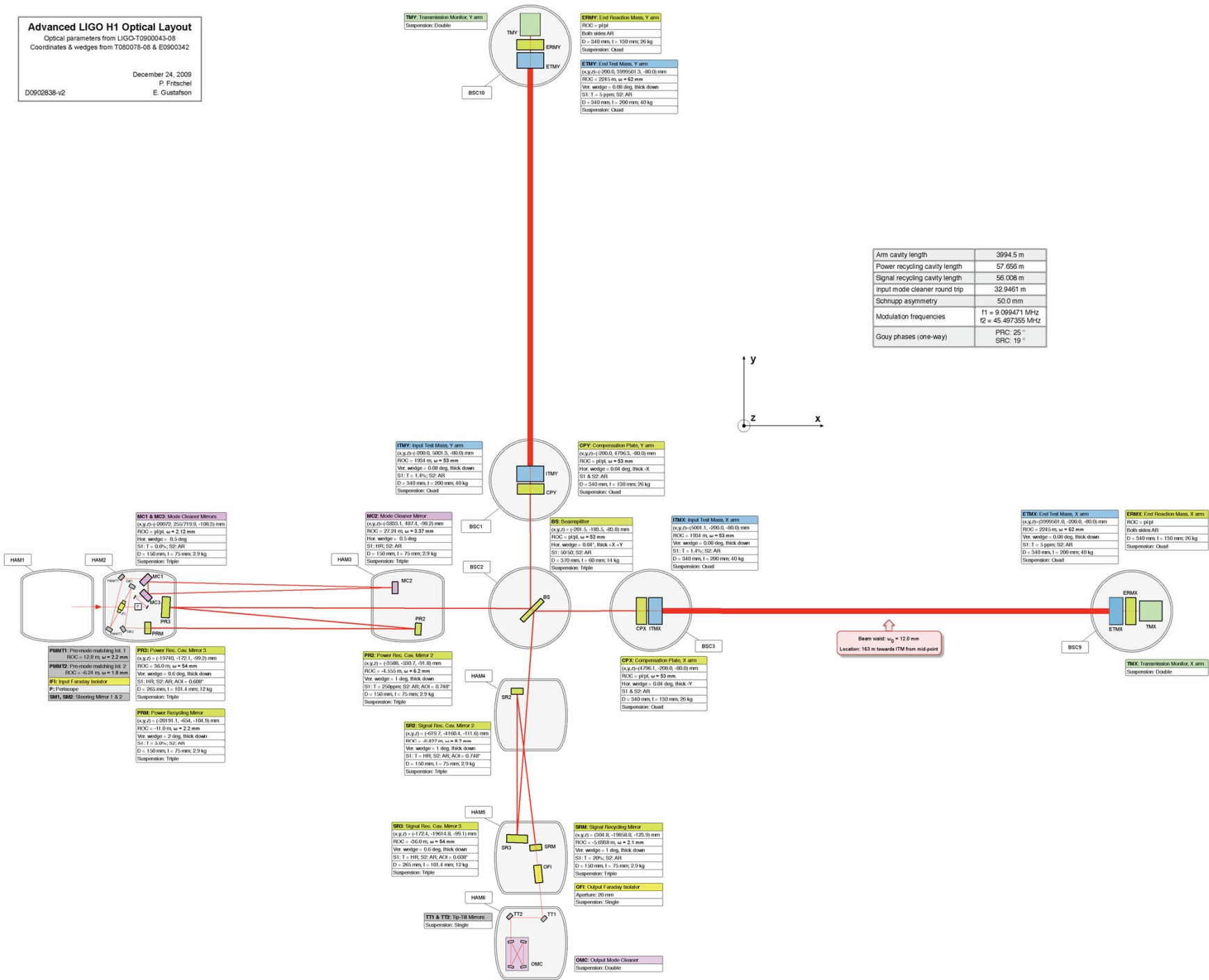


Advanced LIGO H1 Optical Layout

Optical parameters from LIGO-T0900043-08
Coordinates & wedges from T080078-06 & E0800342

December 24, 2009
P. Fritschel
E. Gustafsson

D0902838-v2



Arm cavity length	3994.5 m
Power recycling cavity length	57.656 m
Signal recycling cavity length	56.008 m
Input mode cleaner round trip	32.9461 m
Schnupp asymmetry	50.0 mm
Modulation frequencies	$f1 = 9.099471$ MHz $f2 = 45.497355$ MHz
Gouy phases (one-way)	PRC: 25° SRC: 19°

TMX: Transmission Monitor, Y arm
Suspension: Double

ETMX: End Fraction Mass, Y arm
ROC = p[pt]
Both sides AR
D = 340 mm, L = 130 mm, 26 kg
Suspension: Quad

ETMY: End Test Mass, Y arm
(x,y,z) = (-200.0, 399500.5, -80.0) mm
ROC = 2915 m, $\omega = 42$ mm
Vir. wedge = 0.05 deg, thick down
S1: T = 5 ppm; SZ: AR
D = 340 mm, L = 200 mm, 40 kg
Suspension: Quad

ITMY: Input Test Mass, Y arm
(x,y,z) = (-200.0, 500.5, -80.0) mm
ROC = 1954 m, $\omega = 53$ mm
Vir. wedge = 0.05 deg, thick down
S1: T = 1.4%; SZ: AR
D = 340 mm, L = 200 mm, 40 kg
Suspension: Quad

CPY: Compensation Plate, Y arm
(x,y,z) = (-200.0, 4796.3, -80.0) mm
ROC = p[pt], $\omega = 53$ mm
Hor. wedge = 0.04 deg, thick -X
S1 & SZ: AR
D = 340 mm, L = 130 mm, 26 kg
Suspension: Quad

MC1 & MC2: Mode Cleaner Mirrors
(x,y,z) = (-200.0, 250.719, -100.0) mm
ROC = p[pt], $\omega = 2.12$ mm
ROC = 27.24 m, $\omega = 3.37$ mm
Hor. wedge = 0.5 deg
S1: T = 0.0%; SZ: AR
D = 150 mm, L = 75 mm, 2.9 kg
Suspension: Triple

MC2: Mode Cleaner Mirror
(x,y,z) = (-200.0, 187.4, -90.0) mm
ROC = 27.24 m, $\omega = 3.37$ mm
Hor. wedge = 0.5 deg
S1: HR; SZ: AR
D = 150 mm, L = 75 mm, 2.9 kg
Suspension: Triple

BS: Beam splitter
(x,y,z) = (-200.5, -180.5, -80.0) mm
ROC = p[pt], $\omega = 53$ mm
Hor. wedge = 0.04 deg, thick -X - Y
S1: 50/50; SZ: AR
D = 370 mm, L = 60 mm, 14 kg
Suspension: Triple

ITMX: Input Test Mass, X arm
(x,y,z) = (-200.0, 1, -200.0, -80.0) mm
ROC = 1954 m, $\omega = 53$ mm
Vir. wedge = 0.05 deg, thick down
S1: T = 1.4%; SZ: AR
D = 340 mm, L = 200 mm, 40 kg
Suspension: Quad

ETMX: End Test Mass, X arm
(x,y,z) = (-200.0, 0, -200.0, -80.0) mm
ROC = 2915 m, $\omega = 42$ mm
Vir. wedge = 0.05 deg, thick down
S1: T = 5 ppm; SZ: AR
D = 340 mm, L = 200 mm, 40 kg
Suspension: Quad

ETMX: End Fraction Mass, X arm
ROC = p[pt]
Both sides AR
D = 340 mm, L = 130 mm, 26 kg
Suspension: Quad

TMX: Transmission Monitor, X arm
Suspension: Double

PR1: Power Rec. Circ. Mirror 1
(x,y,z) = (-122.0, 172.1, -90.0) mm
ROC = 56.0 m, $\omega = 54$ mm
Vir. wedge = 0.6 deg, thick down
S1: HR; SZ: AR; ACN = 0.000
D = 265 mm, L = 101.4 mm, 12 kg
Suspension: Triple

PR2: Power Rec. Circ. Mirror 2
(x,y,z) = (-122.0, 172.1, -90.0) mm
ROC = 56.0 m, $\omega = 54$ mm
Vir. wedge = 0.6 deg, thick down
S1: HR; SZ: AR; ACN = 0.000
D = 265 mm, L = 101.4 mm, 12 kg
Suspension: Triple

PRM: Power Recycling Mirror
(x,y,z) = (-2019.1, -654, -104.0) mm
ROC = -11.0 m, $\omega = 2.2$ mm
Vir. wedge = 0 deg, thick down
S1: T = 3.0%; SZ: AR
D = 150 mm, L = 75 mm, 2.9 kg
Suspension: Triple

SR1: Signal Rec. Circ. Mirror 1
(x,y,z) = (-1610.7, -1160.4, -111.0) mm
ROC = -4.497 m, $\omega = 9$ mm
Vir. wedge = 1 deg, thick down
S1: T = HR; SZ: AR; ACN = 0.7487
D = 150 mm, L = 75 mm, 2.9 kg
Suspension: Triple

SR2: Signal Rec. Circ. Mirror 2
(x,y,z) = (-1610.7, -1160.4, -111.0) mm
ROC = -4.497 m, $\omega = 9$ mm
Vir. wedge = 1 deg, thick down
S1: T = HR; SZ: AR; ACN = 0.7487
D = 150 mm, L = 75 mm, 2.9 kg
Suspension: Triple

SR3: Signal Rec. Circ. Mirror 3
(x,y,z) = (-172.4, -1960.8, -90.0) mm
ROC = -56.0 m, $\omega = 54$ mm
Vir. wedge = 0.6 deg, thick down
S1: T = HR; SZ: AR; ACN = 0.000
D = 265 mm, L = 101.4 mm, 12 kg
Suspension: Triple

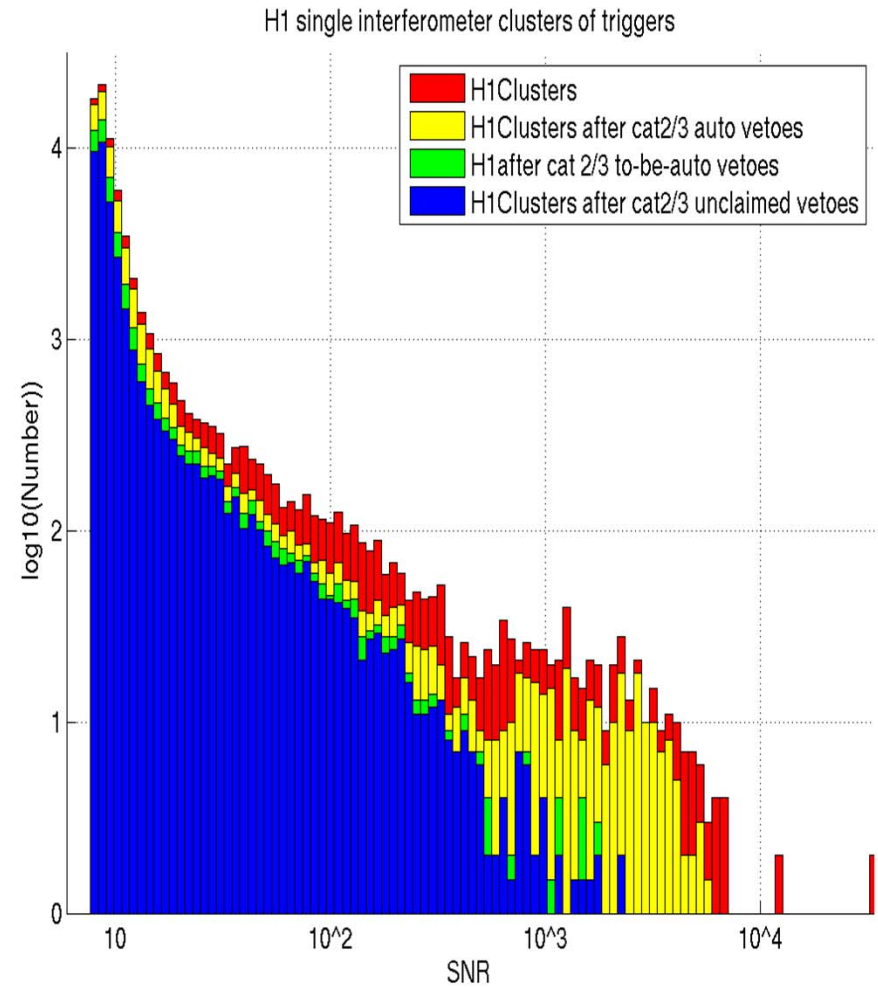
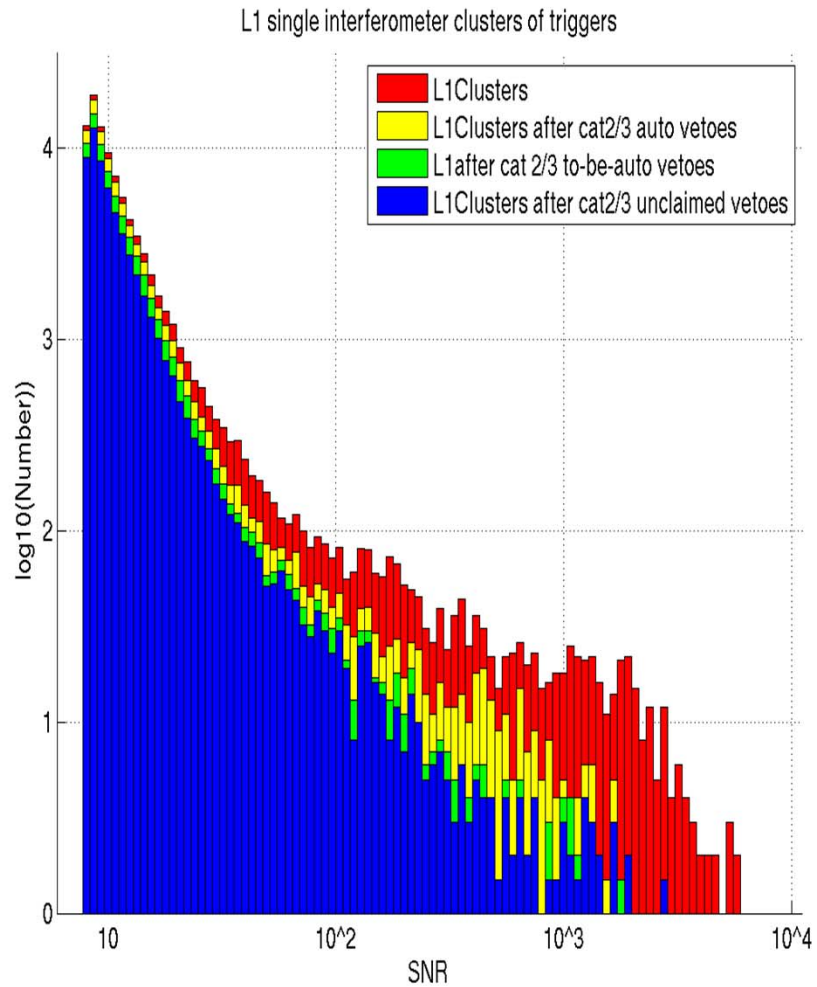
SFM: Signal Recycling Mirror
(x,y,z) = (-208.8, -1995.8, -120.0) mm
ROC = -3.6508 m, $\omega = 2.1$ mm
Vir. wedge = 1 deg, thick down
S1: T = 20%; SZ: AR
D = 150 mm, L = 75 mm, 2.9 kg
Suspension: Triple

OPI: Output Faraday Isolator
Aperture: 30 mm
Suspension: Single

TT1 & TT2: Tip-tilt Mirrors
Suspension: Single

OMC: Output Mode Cleaner
Suspension: Double

NS/NS binary inspiral triggers in the year 1 of S5 in L1 and H1



Jake Slutsky LSU

